

# SO<sub>4</sub><sup>2-</sup>/ZrO<sub>2</sub>-TiO<sub>2</sub> 的制备、表征及其催化合成丙酸正丁酯

董 成,王 刚,侯 鑫,徐 骏,张立庆

(浙江科技学院 生物与化学工程学院,杭州 310023)

**摘要:**采用沉淀-浸渍法制备 SO<sub>4</sub><sup>2-</sup>/ZrO<sub>2</sub>-TiO<sub>2</sub> 催化剂,并应用于催化合成丙酸正丁酯。利用单因素实验得出催化剂最优制备条件:Zr/Ti 原子比 1:1、H<sub>2</sub>SO<sub>4</sub> 浸渍溶液浓度 1.0 mol/L、焙烧温度 600 ℃。利用正交实验得出 SO<sub>4</sub><sup>2-</sup>/ZrO<sub>2</sub>-TiO<sub>2</sub> 催化合成丙酸正丁酯的最优条件:反应时间 2.5 h, 催化剂用量 1.0 g, 醇酸摩尔比 1:1, 收率为 77.36%。通过 Hammett 指示剂法、BET 法、IR、TEM 及 XRD 对催化剂进行表征,结果表明,该催化剂  $H_0 < -11.93$ , 比表面适中,呈无定形态存在。焙烧过程形成了 Zr-O-Ti 结构,且 SO<sub>4</sub><sup>2-</sup> 以螯合双配位式结合,反应前后催化剂形态结构变化较大。

**关键词:**丙酸正丁酯;正交实验;催化合成;表征

中图分类号: TQ225.241; O643.32

文献标志码: A

文章编号: 1671-8798(2013)06-0419-06

## Preparation and characterization of SO<sub>4</sub><sup>2-</sup>/ZrO<sub>2</sub>-TiO<sub>2</sub> and its catalytic synthesis of n-butyl propionate

DONG Cheng, WANG Gang, HOU Xing, XU Jun, ZHANG Liqing

(School of Biological and Chemical Engineering, Zhejiang University of Science and Technology, Hangzhou 310023, China)

**Abstract:** The n-butyl propionate was synthesized by SO<sub>4</sub><sup>2-</sup>/ZrO<sub>2</sub>-TiO<sub>2</sub> prepared by dip-impregnation method. Under the conditions that  $n(\text{Zr}) : n(\text{Ti}) = 1 : 1$ , H<sub>2</sub>SO<sub>4</sub> solution was 1.0 mol/L, calcination temperature was 600 ℃, the catalyst had high activity. And the optimum synthesized conditions were reaction time 2.5 h, the amount of catalyst 1.0 g, molar ratio of acid to alcohol 1:1, the yield of ester 77.36%. Then the catalyst was characterized by methods of Hammett indicator, BET, FT-IR, TEM and XRD. Results showed that the catalyst had suitable specific area and its  $H_0 < -11.93$ . Structure of Zr-O-Ti and chelating

---

收稿日期: 2013-07-25

基金项目: 浙江省自然科学基金资助项目(Y404082);浙江省大学生科技创新活动计划(新苗人才计划)(2011R415025)

作者简介: 董成(1990—),男,浙江省德清人,2009 级化学工程与工艺专业本科生。

通信作者: 张立庆,教授,主要从事物理化学的教学与研究。

$\text{SO}_4^{2-}$  were formed during calcination and no crystall was found. The surface structure changed obviously after reaction.

**Key words:** n-butyl propionate; orthogonal experiment; catalytic synthesis; characterization

丙酸正丁酯<sup>[1]</sup>为无色液体,有甜润的杏子和菠萝的水果香气,主要用于食用香精配方中,可调配桃、杏、菠萝、草莓、香蕉、苹果、樱桃、葡萄等果香型香气,还可用于酒类香精配方中。通常它是在浓硫酸作催化剂条件下由丙酸和醇进行酯化反应而得。但这种方法并不理想,因为浓硫酸易使有机物炭化、氧化,故副反应增多,酯产物色泽深,收率受影响;此外,硫酸会腐蚀设备,大量废酸排放会污染环境。为此,人们希望选用更佳的催化剂取代硫酸,而固体酸和固体超强酸<sup>[2]</sup>具有绿色、环保、可回收等优点,因此越来越受到人们的关注。固体超强酸是比 100% 的  $\text{H}_2\text{SO}_4$  还强的固体酸,其  $H_0 < -11.93$ 。许多重要的工业催化反应都是酸催化反应<sup>[3]</sup>,而固体酸与液体酸相比,具有活性高、无腐蚀性、无污染及与催化反应产物易分离等优点,因此,被广泛地用于石油炼制和有机合成工业<sup>[4]</sup>。

## 1 实验部分

### 1.1 沉淀-浸渍法制备 $\text{SO}_4^{2-}/\text{ZrO}_2\text{-TiO}_2$ 固体超强酸催化剂

称取 7.98 g  $\text{ZrOCl}_2 \cdot 8\text{H}_2\text{O}$  溶于 252 mL 去离子水中,在均匀搅拌下将 13.6 mL 的  $\text{TiCl}_4$  缓慢滴入,搅拌约 5 min。以氨水为沉淀剂,在均匀搅拌下缓慢滴入,直至反应液 pH 值为 9,继续搅拌约 10 min。沉淀液在低温下陈化约 24 h,减压抽滤、洗涤滤饼直至滤液中无  $\text{Cl}^-$  检出(用 0.1 mol/L 的  $\text{AgNO}_3$  溶液检测滤液至无沉淀产生)。将滤饼于 110 °C 下干燥约 12 h,研磨,过 120 目实验筛,用 1.0 mol/L 的  $\text{H}_2\text{SO}_4$  溶液浸渍 4 h 后减压抽滤,滤饼干燥约 6 h,稍加研磨后在马弗炉中于 600 °C 焙烧 3 h,得到固体超强酸  $\text{SO}_4^{2-}/\text{ZrO}_2\text{-TiO}_2$  催化剂<sup>[5]</sup>。

### 1.2 催化剂的表征

用 Hammett 指示剂法测定催化剂样品的酸强度。用 JW-00 型氮气表面吸附仪检测催化剂的比表面积。采用溴化钾压片法,用 AVATAR370 型傅立叶红外光谱仪检测,对所得的图谱进行分析,并与标准数据进行对照。采用日立公司生产的 H-7650 型透射电镜来观察催化剂样品的形貌及颗粒大小等。用荷兰 PANalytical(帕纳科)公司生产的 X'Pert PRO 型 X 射线衍射仪(XRD)分析。X 射线源为 Cu 钨  $K\alpha$  射线( $\lambda=0.154\ 056\ \text{nm}$ ),电压 40 kV,电流 40 mA。

### 1.3 催化合成丙酸正丁酯

在带有分水器的 250 mL 三口圆底烧瓶中依次加入计算量的丙酸、正丁醇和一定量的催化剂,搅拌下加热至回流状态并保持反应温度在 120~130 °C,反应中及时将反应生成的水分出。反应后,停止加热,将分水器中的酯层并入反应液中,静置冷却至室温,减压抽滤除去催化剂,滤液倾入分液漏斗中,用适量去离子水洗涤,分去水层。酯层用饱和碳酸钠溶液洗涤至 pH 值为 7,再分去水层。将酯层再用适量去离子水洗涤,分去水层。酯层用无水硫酸镁干燥。将干燥后的丙酸正丁酯粗品加热蒸馏,收集 140~145 °C 的馏分,对该馏分进行分析后称取质量,计算收率。

### 1.4 产品分析

采用薄膜法将所得产品进行红外光谱测定,对所得的图谱进行分析,并与标准红外图谱作比较<sup>[6]</sup>。

## 2 结果与讨论

### 2.1 催化剂制备条件对催化活性的影响

#### 2.1.1 Zr/Ti 原子比对催化活性的影响

在催化剂其他制备条件不变的情况下,仅改变  $\text{ZrOCl}_2 \cdot 8\text{H}_2\text{O}$  与  $\text{TiCl}_4$  用量之间的比例,利用探针反应考察 Zr/Ti 原子比对催化剂催化活性的影响,实验结果见表 1。

表 1 Zr/Ti 原子比对催化剂活性的影响

Table 1 Effects of atomic ratio on catalytic activity

催化剂编号	$V(\text{TiCl}_4)/\text{mL}$	$m(\text{ZrOCl}_2 \cdot 8\text{H}_2\text{O})/\text{g}$	$n(\text{Zr})/n(\text{Ti})$	收率/%
S-A1	1.1	9.67	3:1	35.06
S-A2	1.1	6.44	2:1	35.22
S-A3	2.2	6.44	1:1	37.76
S-A4	4.4	6.44	1:2	37.42
S-A5	5.5	6.44	1:2.5	31.98
S-A6	8.8	6.44	1:4	30.03
S-A7	5.5	3.22	1:5	28.96

由表 1 可见,要获得活性良好的催化剂,需要适宜的 Zr/Ti 原子比,其过小或过大均不利于催化剂活性的提高;S-A3 催化剂的催化活性相对最高,这表明最适宜的 Zr/Ti 原子比为 1:1。

### 2.1.2 $\text{H}_2\text{SO}_4$ 溶液浓度对催化活性的影响

在催化剂其他制备条件不变的情况下,仅改变  $\text{H}_2\text{SO}_4$  浸渍溶液的浓度,利用探针反应考察浸渍溶液浓度变化对催化剂催化活性的影响,实验结果见表 2。

由表 2 可见,  $\text{H}_2\text{SO}_4$  溶液的浓度对催化剂活性影响较大,其过小或过大均会造成催化剂活性的下降,在 0.5~1.5 mol/L 范围内,所浸渍的催化剂具有相对较高的催化活性;其中 S-B3 催化剂的催化活性最高,这表明最佳  $\text{H}_2\text{SO}_4$  浸渍溶液浓度为 1.0 mol/L。

### 2.1.3 焙烧温度对催化活性的影响

在催化剂其他制备条件不变的情况下,仅改变催化剂的焙烧温度,利用探针反应考察焙烧温度对催化剂催化活性的影响,实验结果见表 3。

由表 3 可知,焙烧温度对催化剂活性影响比较大,其过高或过低都会使催化剂的活性下降,在 550~650 °C 下焙烧的催化剂具有相对较高的催化活性;其中 S-C3 催化剂的催化活性最高,这表明最佳焙烧温度为 600 °C。

综合上述实验分析的结果,可以确定固体超强酸  $\text{SO}_4^{2-}/\text{ZrO}_2\text{-TiO}_2$  催化剂的最佳制备条件为: Zr/Ti 原子比 1:1;  $\text{H}_2\text{SO}_4$  浸渍溶液浓度 1.0 mol/L; 焙烧温度 600 °C。

## 2.2 $\text{SO}_4^{2-}/\text{ZrO}_2\text{-TiO}_2$ 固体超强酸催化剂的表征

### 2.2.1 酸强度测试

Hammett 指示剂法<sup>[7]</sup>测定结果显示,所制  $\text{SO}_4^{2-}/\text{ZrO}_2\text{-TiO}_2$  催化剂  $H_0 \leq -11.93$ ,由此证明  $\text{SO}_4^{2-}/\text{ZrO}_2\text{-TiO}_2$  为固体超强酸。

### 2.2.2 比表面测试

BET 法测定结果显示,按最佳制备条件所制  $\text{SO}_4^{2-}/\text{ZrO}_2\text{-TiO}_2$  催化剂样品比表面积为 58.23  $\text{m}^2/\text{g}$ ,这说明采用沉淀-浸渍法制备的固体超强酸  $\text{SO}_4^{2-}/\text{ZrO}_2\text{-TiO}_2$  虽具有良好的催化活性,但其表面积并不是很大。

表 2 浸渍溶液浓度对催化剂活性的影响

Table 2 Effects of impregnating solution concentration on catalytic activity

催化剂编号	$\text{H}_2\text{SO}_4$ 溶液浓度/(mol · L <sup>-1</sup> )	收率/%
S-B1	0.25	45.06
S-B2	0.5	62.30
S-B3	1.0	64.08
S-B4	1.5	51.94
S-B5	2.0	34.92
S-B6	2.5	28.84

表 3 焙烧温度对催化剂活性的影响

Table 3 Effects of calcination temperature on catalytic activity

催化剂编号	焙烧温度/°C	收率/%
S-C1	500	56.77
S-C2	550	57.10
S-C3	600	66.20
S-C4	650	47.57
S-C5	700	44.82

### 2.2.3 红外图谱分析

由图 1 可知,  $3329.15\text{ cm}^{-1}$  为  $\text{H}_2\text{O}$  的—OH 伸缩振动吸收峰和弯曲振动吸收峰;  $1399.93\text{ cm}^{-1}$  为 S=O 键振动吸收峰, S=O 键具有高度共价键特性,  $1112.00\text{ cm}^{-1}$  为 Zr—O—Ti 结构振动吸收峰,  $706.82\text{ cm}^{-1}$  为 Ti—O 弯曲振动吸收峰。 $1628.71\text{ cm}^{-1}$  处的强吸收峰为 O—S—O 反对称伸缩振动吸收峰, 表明催化剂表面  $\text{SO}_4^{2-}$  以螯合双配位方式与金属原子结合<sup>[8]</sup>, 由于  $\text{SO}_4^{2-}$  对电子的强烈吸引作用, 使 Zr 和 Ti 具有相对多的正电荷而形成 Lewis 酸位, 强 Lewis 酸在吸附水分子后, 与水分子中的电子发生较强的相互作用, 产生强 Bronsted 酸位, 增强了酸性, 从而产生超强酸<sup>[9-11]</sup>。

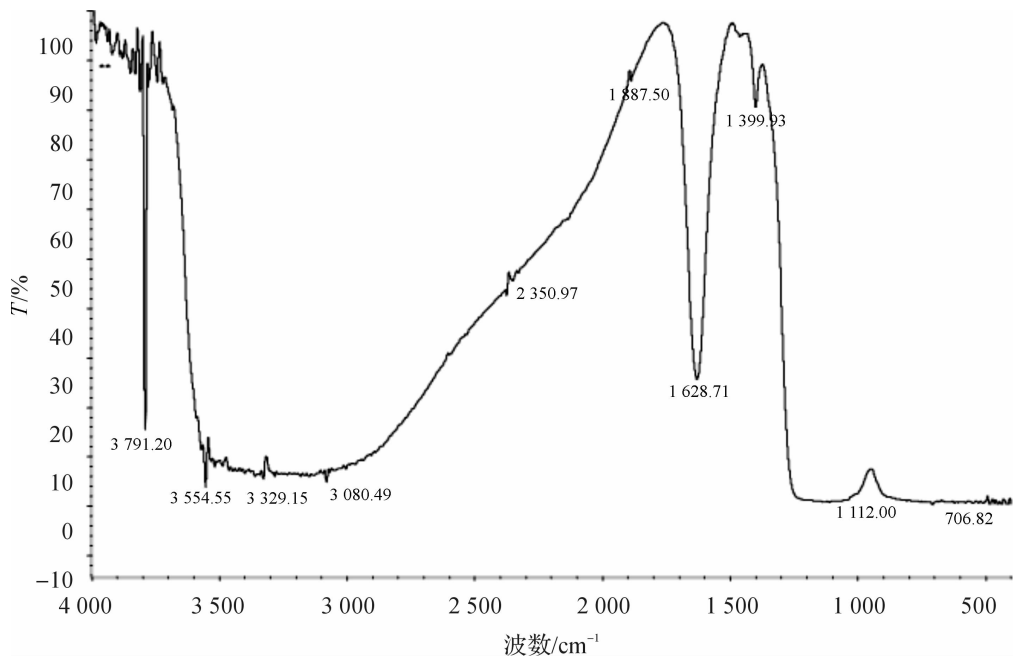


图 1 催化剂红外图谱

Fig. 1 Infrared spectrogram of catalyst

### 2.2.4 TEM 图谱分析

为了考察反应对催化剂形态形貌的影响, 分别取反应前和反应后的  $\text{SO}_4^{2-}/\text{ZrO}_2\text{-TiO}_2$  催化剂样品做 TEM 分析。结果见图 2。

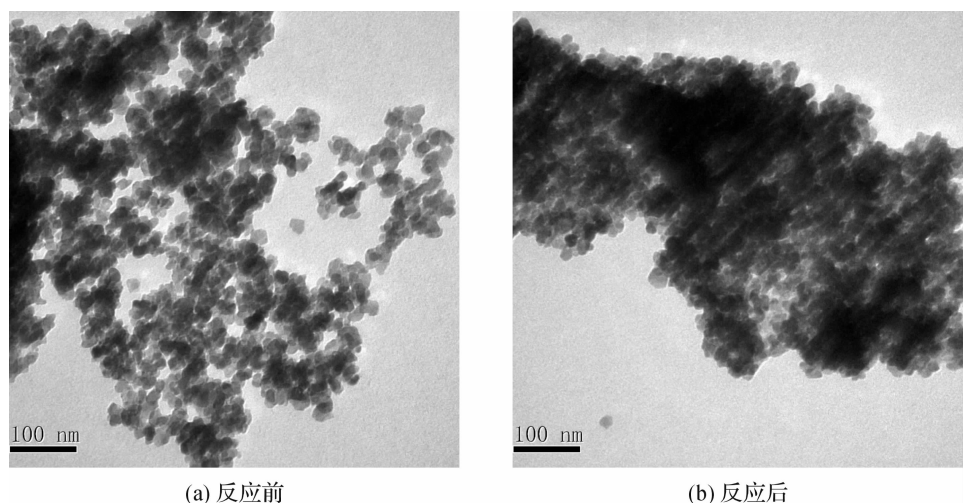


图 2 催化剂 TEM 图

Fig. 2 TEM spectrogram of catalyst before and after reaction

比较催化剂反应前后 TEM 图谱可知, 反应前后催化剂的形态形貌发生了很大变化<sup>[11]</sup>。反应前的  $\text{SO}_4^{2-}/\text{ZrO}_2\text{-TiO}_2$  样品分布松散, 呈现比较均匀的网状结构, 具有明显的孔穴; 反应后的  $\text{SO}_4^{2-}/\text{ZrO}_2\text{-TiO}_2$  样品分布集中, 出现团集, 这可能是因为反应后催化剂出现烧结、积炭等缘故。

### 2.2.5 XRD 图谱分析

从  $\text{SO}_4^{2-}/\text{ZrO}_2\text{-TiO}_2$  的 XRD 谱图(图 3)可以看出, 复合载体氧化物以无定形存在, 几乎观察不到  $\text{ZrO}_2$  和  $\text{TiO}_2$  的晶相衍射峰。根据文献[12]的报道, 这可能是由于  $\text{TiO}_2$  与  $\text{ZrO}_2$  发生了强相互作用, 使其晶化过程受到了抑制, 在 600 ℃焙烧后,  $\text{ZrO}_2$  与  $\text{TiO}_2$  形成的复合氧化物以无定形态存在。

### 2.3 $\text{SO}_4^{2-}/\text{ZrO}_2\text{-TiO}_2$ 催化合成丙酸正丁酯正交实验

为综合考量反应时间、催化剂用量和醇酸摩尔比 3 个因素对丙酸正丁酯合成的影响, 采用  $L_9(3^3)$  正交表, 实验因素水平见表 4, 正交实验结果与分析见表 5。

表 4  $\text{SO}_4^{2-}/\text{ZrO}_2\text{-TiO}_2$  催化合成丙酸正丁酯实验因素水平表

Table 4 Levels and factors of catalytic synthesis of n-butyl propionate by  $\text{SO}_4^{2-}/\text{ZrO}_2\text{-TiO}_2$

因素	A		
	B	C	
水平	反应时间/h	催化剂用量/g	醇酸摩尔比
1	1.5	0.6	1.0 : 1
2	2.0	0.8	1.2 : 1
3	2.5	1.0	1.4 : 1

注:丙酸用量为 0.20 mol。

表 5 正交实验结果与分析( $L_9(3^3)$ )

Table 5 Results and analysis of orthogonal experiment ( $L_9(3^3)$ )

因素实验组	A	B	C	实验结果收率/%
1	1	1	1	67.94
2	1	2	2	67.68
3	1	3	3	71.77
4	2	1	2	66.89
5	2	2	3	61.76
6	2	3	1	69.21
7	3	1	3	65.64
8	3	2	1	77.05
9	3	3	2	73.47
$K_1$	207.39	200.47	214.20	
$K_2$	197.86	206.49	208.04	
$K_3$	216.16	214.45	199.17	
$J_1$	69.13	66.82	71.40	
$J_2$	65.95	68.83	69.35	
$J_3$	72.05	71.48	66.39	
$R$	6.10	4.66	5.01	

经直观分析可以得到因素的主次顺序是  $A > C > B$ , 即反应时间>醇酸摩尔比>催化剂用量。丙酸正丁酯的合成最优条件为  $A_3B_3C_1$ , 即反应时间 2.5 h, 催化剂用量 1.0 g, 醇酸摩尔比 1 : 1。在此条件下进行催化合成, 其平均收率为 77.36%。

### 3 结语

1)沉淀-浸渍法制备  $\text{SO}_4^{2-}/\text{ZrO}_2\text{-TiO}_2$ , 用于催化合成丙酸正丁酯, 进行正交实验, 得出最优合成条件

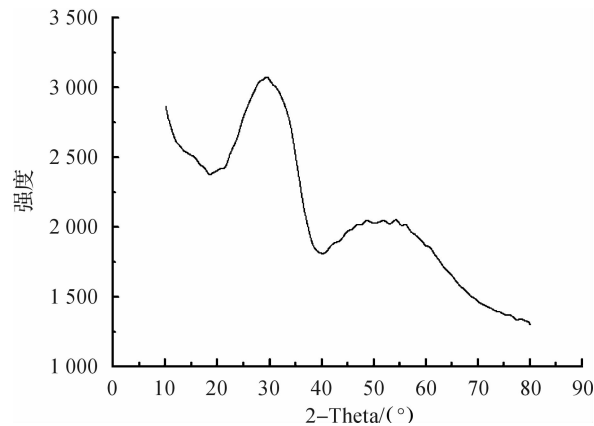


图 3 催化剂 XRD 图谱

Fig. 3 XRD spectrogram of catalyst

为:反应时间 2 h,催化剂用量 1.0 g,醇酸摩尔比 1 : 1,平均收率为 77.36%。

2)通过 Hammett 指示剂法测定,  $\text{SO}_4^{2-}$  /  $\text{ZrO}_2\text{-TiO}_2$  使指示剂呈现酸性色,说明为固体超强酸。经 BET 法测定,  $\text{SO}_4^{2-}$  /  $\text{ZrO}_2\text{-TiO}_2$  比表面为  $58.23 \text{ m}^2/\text{g}$ 。

3)通过对催化剂样品的红外图谱分析得出,  $\text{SO}_4^{2-}$  /  $\text{ZrO}_2\text{-TiO}_2$  固体超强酸在焙烧过程中形成了 Zr—O—Ti 键;催化剂表面的  $\text{SO}_4^{2-}$  以螯合双配位方式吸附在金属离子上。

4)由 XRD 的表征结果可知,  $\text{SO}_4^{2-}$  /  $\text{ZrO}_2\text{-TiO}_2$  固体超强酸以无定形态存在。

### 参考文献:

- [1] 林世静,孙阳昭,佟拉嘎,等.微波辐射活性炭固载对甲苯磺酸催化合成丙酸丁酯[J].精细石油化工进展,2006(7):37-40.
- [2] 杨志旺,洪伟,王佳,等. $\text{SO}_4^{2-}$  /  $\text{SnO}_2$ /SBA-15 固体酸催化剂的制备及其在环酮缩合反应中的应用[J].催化学报,2012,33(5):827-832.
- [3] Morales J, Mexico D F. Sulfated  $\text{SnO}_2\text{-SiO}_2$  superacid catalysts by sol-gel method[J]. Journal of Porous Materials, 1996, 14:241-245.
- [4] 曾飞虎,林玉香,陈锦辉,等. $\text{S}_2\text{O}_8^{2-}$  /  $\text{ZrO}_2\text{-SiO}_2$  固体超强酸的合成及其催化合成硬脂酸正丁酯[J].石油化工,2013,42(2):198-203.
- [5] 陈同云,古绪鹏,胡祥余.低温陈化法制备  $\text{SO}_4^{2-}$  /  $\text{ZrO}_2\text{-TiO}_2$  固体超强酸及其催化性能的研究[J].无机化学学报,2002,19(4):378-382.
- [6] 陈丹云,何建英,丁彦庭.硫酸铈催化合成丙酸丁酯的研究[J].化工中间体,2006(1):26-27.
- [7] 施宇,宋华.固体超强酸催化剂改性的研究进展[J].当代化工,2010,4(2):183-185.
- [8] 刘康强,旷成秀,张新华.固体超强酸  $\text{S}_2\text{O}_8^{2-}$  /  $\text{TiO}_2$  的溶胶-凝胶法制备与表征[J].工业催化,2007,15(6):48-51.
- [9] Lopez T, Navarrete J. Preparation of sol-gel sulfated  $\text{ZrO}_2\text{-SiO}_2$  and characterization of its surface acidity[J]. Applied Catalysis A: General,1995,125:217-232.
- [10] 崔波,陈晓珍,祁亚珍,等.钛超强酸催化剂的特征及对酯化反应的催化作用[J].高校化学工程学报,2004,18(6):707-712.
- [11] 张亚平,黎汉生,甄彬,等. $\text{SO}_4^{2-}$  /  $\text{TiO}_2\text{-SiO}_2$  固体超强酸的制备、表征及其性能[J].化工进展,2011,30(增刊 1):155-158.
- [12] 毛东森,卢冠忠,陈庆龄.钛锆复合氧化物载体的制备、物化性质及在催化反应中的应用[J].催化学报,2004,25(6):501-510.